

CHAPTER 2

视觉感知要素

人视觉是由眼睛中锥状体和杆状体组成的。低照明级别杆状体起作用。在背景照明增强时锥状体起作用。

光和电磁波谱

$\lambda = \frac{c}{\nu}$ $E = h\nu$ 可见光的波长范围：约 400 700nm $\Delta I_c/I$ 称为韦伯比

辐射强度:光源流出能量总量;光通量给出观察者从光源感受到的能量，用流明数量度;亮度是光感受的主观描绘，不能测量，描述彩色感觉参数之一；灰度级用来描述单色光图像的亮度

图像感知与获取

传感器:CCD,CMOS

简单的成像模型

$f(x,y)=i(x,y)r(x,y)$,其中*i(x,y)*为入射分量(低频)，*r(x,y)*为反射分量(高频)

其中0≤*f(x,y)*,*i(x,y)*<∞ 0≤*r(x,y)*≤1,r=0 全吸收,l 全反射

图像取样和量化

对坐标值进行数字化称为取样,对幅度值进行数字化称为量化,原点位于图像的左上角，x 轴向下，y 轴向右

坐标索引：像二维坐标(x, y);线性索引通过计算到坐标(0, 0)的偏移量得到的,行/列扫描

空间分辨率：图像中可辨别的最小细节 灰度分辨率：灰度级中可分辨的最小变化;打印机单位距离可以分辨的最小线对数 DPI;数字图像:图像大小，即行数 x 列数 PPI

图像对比度：一幅图像中最高和最低灰度级间的灰度差为对比度。

基本的图像重取样方法：图像内插。有最近邻内插;常选用双线性(v(x, y) = ax + by + cxy + d 四个系数可用 4 个最近邻点的 4 个未知方程求出)和双三次内插。

像素间的一些基本关系

$N_4(p)$ 上下左右, $N_{D(p)}$ 四个对角, $N_8(p) = N_4(p) \cup N_{D(p)}$

值域 V，V 是 0 到 255 中的任一个子集

4 邻接:点 q 在 $N_4(p)$ 中，并 q 和 p 具有 V 中的数值

8 邻接:点 q 在 $N_8(p)$ 中，并 q 和 p 具有 V 中的数值

m 邻接(混合邻接): l.q 在 p 的 $N_4(p)$ 或者 2.q 在 p 的 $N_{D(p)}$ 中， $N_4(P) \cap N_4(Q)$ 中没有 V 值的像素

欧氏距离(De): $D_e(p,q) = \sqrt{(x-s)^2 + (y-t)^2}$ 街区距离(D4): $D_4(p,q) = |x-s| + |y-t|$

棋盘距离(D8): $D_8(p,q) = \max(|x-s|, |y-t|)$

对应元素运算和矩阵运算

图像相加：取平均降噪。相减：增强差别。相乘和相除：校正阴影。

三个基本量用于描绘彩色光源的质量：发光强度、光通量和亮度。

一幅数字图像占用的空间：M×N×k。

CHAPTER 3

基本的灰度变换

反转变换 $S=L-1-r$;增强暗色区域中的白色或灰色细节;

对数变换 $S=c\log(1+r)$;将范围较窄的低灰度值映射为范围较宽的

幂律(伽马)变换 $s=cr^\gamma$; $\gamma < 1$ 变亮,加强暗细节 ;反之变暗,加强亮细节 ;可增强对比度

分段线性变换:

- 1.对比度拉伸:提高灰度级的动态范围,改善对比度;
- 2.灰度级分层:突出某区间灰度,其他位置可不变也可降级;
- 3.比特平面分层:8bit 灰度图分割成 8 个比特面,(左)高位表示主体信息,低位给出不同程度的细节

直方图处理

直方图容器: $h(r_k) = n_k, \quad k = 0, 1, 2, \cdots, L-1$; n_k 是 f 中灰度为 r_k 的像素的数量 ;k 越大越白

直方图:对容器归一化 $p(r_k) = \frac{h(r_k)}{MN} = \frac{n_k}{MN}$

无空间信息,不同图像可能直方图相似,同一图像切片的直方图有可加性;若一幅图像其像素占有全部可能的灰度级并且分布均匀，这样的图像灰度对比度 高、细节会相对明显

均衡化

假设 $s=T(r)$ 在 $0 \leq r \leq L-1, \quad T(r)$ 严格单调递增且 $0 \leq T(r) \leq L-1$ 。

变换前后的 pdf 为 $p_r(r), p_s(s)$

若 $T(r)$ 还可微，有 $p_s(s) = p_r(r)|\frac{dr}{ds}|$

连续情况 $s=T(r) = (L-1) \int_0^r p_r(w)dw$ 变换后 $p_s = \frac{1}{L-1}$ 完全平坦

离散情况 $s_k=T(r_k) = (L-1) \sum_{j=0}^k p_r(r_j) = (L-1) \sum_{j=0}^k \frac{n_k}{MN}$ 无法得到完全平坦的分布

目的:使图像产生灰度级丰富且动态范围大的图像灰度;期望得到均匀分布直方图;数字图像均衡化只是连续情况的近似;简并:灰度级减少了（不同的灰度变换到同一灰度）

匹配(规范化)

使得直方图变换到规定的分布;均衡可以看作是匹配的特例

输入原始图 $p_{r(r)}$ ，目标图像 $p_{z(z)}$ ，求输入r到输出z的变换公式

把原始图像和目标图像都用均衡化的作为桥梁

连续：原图均衡化 $s=T(r) = (L-1) \int_0^r p_r(w)dw$; 目标图均衡化 $s=G(z) = (L-1) \int_0^s p_z(\nu)d\nu$

均衡化图求逆得到目标 $z=G^{-1}(s) = G^{-1}[T(r)]$

离散： $q, k \in [0, L-1] \quad s_k = T(r_k) = (L-1) \sum_{j=0}^k p_r(r_j) ; \quad s_k = G(z_q) = (L-1) \sum_{i=0}^q p_z(z_i) ; \quad z_q = G^{-1}(s_k)$

s_k 定义域和值域都是离散且有限,可用一表格记录其对应关系，并采样遍历方式找到最优匹配值,无需求逆

局部处理

图像/图像块(全局/局部)的统计距计算

设 $p(r_i) = \frac{n_i}{n}, \quad i = 0, 1, 2, \cdots, L-1$

灰度级r相对于均值 m 的n阶中心矩为： $\mu_n(r) = \sum_{i=0}^{L-1} (r_i - m)^n p(r_i)$

m 是 r 的均值: $m = \sum_{i=0}^{L-1} r_i p(r_i)$ 衡量明暗程度

$n = 2$ 为方差: $\sigma^2 = \mu_2(r) = \sum_{i=0}^{L-1} (r_i - m)^2 p(r_i)$ 衡量灰度变化的程度

局部直方图处理:设置一个函数,对满足特定的 m 和σ的邻域进行变换,其他不变

空间滤波

线性空间滤波

对于大小为 m×n(行 x 列)的核，m=2a+1 和 n=2b+1,其中 a 和 b 是非负整数。

w 是个二维矩阵,左上角从(-a,-b)开始,f 左上角从(0,0)开始

$g(x,y) = \sum_{s=-a}^a \sum_{t=-b}^b w(s,t)f(x+s,y+t)$

新像素是旧像素线性组合;核中心和原图左上角开始对齐运算

空间相关与卷积

一维核旋转 180°相当于这个核绕相对于其轴进行翻转。

二维核旋转 180°等效于核关于其一个轴翻转，然后关于另一个轴翻转。

相关 $(w \star f)(x,y) = \sum_{s=-a}^a \sum_{t=-b}^b w(s,t)f(x+s,y+t)$

卷积 $(w \star f)(x,y) = \sum_{s=-a}^a \sum_{t=-b}^b w(s,t)f(x-s,y-t)$ 等同于将核旋转 180 度后再做相关

卷积满足交换，结合，分配律;相关只满足分配律

N 输出大小，W 输入大小，P 填充大小，S 步长 F 卷积核大小

$N = \frac{(W-F+2P)}{S} + 1$

两个滤波器大小为 MxM 和 NxN，卷积后的大小是(M+N-1)x(M+N-1)

可分离滤波器核

大小为 m x n 的滤波核可表示为两个向量的积 $w = w_1 w_2^T = w_1 \star w_2$

$w_1 w_2$ 为 m x l,n x l 列向量

(一个列向量和一个行向量的积等于这两个向量的二维卷积)

可分离核执行卷积相对不可分离核执行卷积的计算优势: $C = \frac{M N m n}{M N (m+n)} = \frac{m n}{m+n}$

可分离核条件：**rank**(w) = 1

分离方法：在核 w 中找到任何一个非零元素a,值为E；提取a所在的列与行，形成列向量c和r_i：

$w_1 = c, w_2^T = \frac{E}{c}$

平滑（低通）空间滤波器

降低相邻灰度的急剧过度，以减少无细节（噪声）；平滑通过对相邻像素求和（积分）实现. 归一化确保亮度不变；低通滤波可去除“无关”细节：即比其核小很多的点/区域

$g(x,y) = \frac{\sum_{s=-a}^a \sum_{t=-b}^b w(s,t)f(x+s,y+t)}{\sum_{s=-a}^a \sum_{t=-b}^b w(s,t)}$

1	1	1	1	1
1	1	1	1	1
1	1	1	1	1
1	1	1	1	1
1	1	1	1	1

一维线性平滑滤波器

盒式滤波器:每个元素相同;核越大,对越多像素做平均,其平滑程度越明显，细节丢失越多；

高斯核函数 $w(s,t) = G(s,t) = K e^{-\frac{s^2+t^2}{2\sigma^2}}$ 一般选核大小奇数接近6σ 对同一图像，高斯核越大越模糊；圆对称：到中心点距离r一样，则对应系数一样的;可分离：可写成两个一维的高斯分布相乘形式 对比：高斯核更适合去噪和平滑处理;盒式核更适合锐化和边缘增强。

锐化（高通）空间滤波器

凸显灰度的过渡部分，以增强图像中的细节。锐化用相邻像素差分（导数）来实现.

一维差分 $\frac{\partial f}{\partial x} = f(x+1) - f(x) \quad \frac{\partial^2 f}{\partial x^2} = f(x+1) + f(x-1) - 2f(x)$

拉普拉斯算子

连续： $\nabla^2 f = \frac{\partial^2 f}{\partial x^2} + \frac{\partial^2 f}{\partial y^2}$

离散： $\nabla^2 f = [f(x+1,y) + f(x-1,y) + f(x,y+1) + f(x,y-1)] - 4f(x,y)$

常见拉普拉斯滤波器特点:1. 中心对称； 2. 中间值的绝对值大； 3. 和为零。

+	+	+	+	+	+	+	+	+	+
+	+	+	+	+	+	+	+	+	+
+	+	+	+	+	+	+	+	+	+
+	+	+	+	+	+	+	+	+	+
+	+	+	+	+	+	+	+	+	+
+	+	+	+	+	+	+	+	+	+
+	+	+	+	+	+	+	+	+	+
+	+	+	+	+	+	+	+	+	+
+	+	+	+	+	+	+	+	+	+
+	+	+	+	+	+	+	+	+	+

$g(x,y) = \begin{cases} f(x,y) - \nabla^2 f(x,y), & \text{当拉普拉斯滤波中心系数为负} \\ f(x,y) + \nabla^2 f(x,y), & \text{当拉普拉斯滤波中心系数为正} \end{cases}$

钝化掩蔽和高提升滤波

用于增强图像的细节和边缘

模糊图像 $f(x,y)$ 模板 $g_{mask}(x,y) = f(x,y) - \hat{f}(x,y)$ 加权相加 $g(x,y) = f(x,y) + kg_{mask}(x,y)$

k=1 为钝化掩蔽 k>1 为高提升滤波 k<1 不强调钝化模板的贡献

低通、高通、带阻和带通滤波器

1	1	1	1	1	1	1	1	1	1
1	1	1	1	1	1	1	1	1	1
1	1	1	1	1	1	1	1	1	1
1	1	1	1	1	1	1	1	1	1
1	1	1	1	1	1	1	1	1	1
1	1	1	1	1	1	1	1	1	1
1	1	1	1	1	1	1	1	1	1
1	1	1	1	1	1	1	1	1	1
1	1	1	1	1	1	1	1	1	1
1	1	1	1	1	1	1	1	1	1

单位冲激中心和滤波器核中心重合

低通 $lp(x,y)$ ，高通 $hp(x,y) = \delta(x,y) - lp(x,y)$

带阻 $br(x,y) = lp_1(x,y) + hp_2(x,y)$, $= lp_1(x,y) + [\delta(x,y) - hp_2(x,y)]$ ，带通 $bp(x,y) = \delta(x,y) - br(x,y) = \delta(x,y) - [lp_1(x,y) + [\delta(x,y) - lp_2(x,y)]]$

CHAPTER 4

在空域不好解决的问题，在频域上可能变得非常容易（性能及时间上）;不同于空域像素的调整，对频谱系数修改会作用于整个空域图像。空域适合：局部特征、实时操作、简单的像素级调整。频域适合：全局特征、复杂操作、周期性噪声去除、压缩等。

采样

周期冲激串 $s_{\Delta T}(t) = \sum_{n=-\infty}^{\infty} \delta(x-n \Delta T)$

取样后函数 $\hat{f}(t) = f(t)s_{\Delta T}(t) = \sum_{n=-\infty}^{\infty} f(t)\delta(t-n\Delta T)$

积分得到取样点的值 $f_k(k) = \int_{-\infty}^{\infty} f(t)\delta(t-k\Delta T)dt = f(k\Delta T)$

采样定理:采样率 f_s 应大于等于信号最高频率的两倍，即 $f_s > 2f_{\max}$ ，否则会出现混叠现象。

单变量的离散傅里叶变换

连续 $f(t) = \int_{-\infty}^{\infty} F(\mu)e^{j2\pi\mu t}d\mu \quad F(\mu) = \int_{-\infty}^{\infty} ; f(t)e^{-j2\pi\mu t}dt$

离散 $u, x \in [0, M-1]$

$F(u) = \sum_{x=0}^{M-1} f(x)e^{-j2\pi ux/M} ; f(x) = \frac{1}{M} \sum_{u=0}^{M-1} F(u)e^{j2\pi ux/M}$

二变量函数的傅里叶变换

二维傅里叶变换是一维情形向两个方向的简单扩展

$F(u,v) = \int_{-\infty}^{+\infty} \int_{-\infty}^{+\infty} f(t,z)e^{-j2\pi(ut+ vz)}dtdz ; f(t,z) = \int_{-\infty}^{+\infty} \int_{-\infty}^{+\infty} F(u,v)e^{j2\pi(\mu t+ \nu z)}dudv$

采样： $\hat{f}(t,z) = f(t,z)s_{\Delta T\Delta Z}(t,z) = \sum_{m=-\infty}^{\infty} \sum_{n=-\infty}^{\infty} f(t,z)\sigma(t-m\Delta T, z-n\Delta Z)$

DTF： $F(u,v) = \sum_{x=0}^{M-1} \sum_{y=0}^{N-1} f(x,y)e^{-j2\pi(ux/M+vy/N)}$

IDFT： $f(x,y) = \frac{1}{MN} \sum_{u=0}^{M-1} \sum_{v=0}^{N-1} F(u,v)e^{j2\pi(ux/M+vy/N)}$

二维 DFT 和 IDFT 性质

谱 $|F(u,v)| = [R^2(u,\nu) + I^2(u,\nu)]^{1/2}$ 相角 $\phi(u,\nu) = \arctan\left[\frac{I(u,\nu)}{R(u,\nu)}\right]$ R 实部,I 虚部

极坐标 $F(u,\nu) = |F(u,\nu)|e^{j\phi(u,\nu)}$

周期性(k 为整数) $F(u,\nu) = F(u+k_1M, \nu+k_2N)$

$f(x,y) = f(x+k_1M, y+k_2N)$

卷积 $(f \star h)(x,y) = \sum_{m=0}^{M-1} \sum_{n=0}^{N-1} f(m,n)h(x-m,y-n)$

相关 $(f \star h)(x,y) = \sum_{m=0}^{M-1} \sum_{n=0}^{N-1} f^*(m,n)h(x+m,y+n)$

使用 DFT 算法求 IDFT $MNf^*(x,y) = \sum_{u=0}^{M-1} \sum_{v=0}^{N-1} F^*(u,v)e^{-j2\pi(ux/M+vy/N)}$ 结果取复共轭并除以 MN 就可得到反变换

离散单位冲激 $\delta(x,y) \Leftrightarrow 1, 1 \Leftrightarrow MN\delta(u,\nu)$

卷积定理 $(f \star h)(x,y) \Leftrightarrow (F \cdot H)(u,\nu) \parallel (f \cdot h)(x,y) \Leftrightarrow \frac{1}{MN}(F \star H)(u,\nu)$

平移性 $f(x,y)\text{e}^{\text{j}2\pi(u_0x/M+v_0y/N)}\Leftrightarrow F(u-u_0,v-v_0)$

$f(x-x_0,y-y_0)\Leftrightarrow F(u,v)\text{e}^{-\text{j}2\pi(ux_0/M+vy_0/N)}$

$\delta(x-a,y-b)\Leftrightarrow \text{e}^{-\text{j}2\pi(ua+vb)}$

频率域滤波

(1)对图像 f(x,y)进行零填充(长宽均变为两倍，变为 $P\times Q$ (2)频谱中心化：用 $(-1)^{x+y}$ 乘以填充后的图像 (3)计算(2)结果的 DFT，即 $F(u,v)$;

(4)用滤波器函数(中心在(P/2,Q/2)) $H(u,v)$ 乘以 $F(u,v):G(u,v)=H(u,v)F(u,v)$

(5)计算(4)中结果的 IDFT, $g(x,y)=F^{-1}(G(u,v))$ 理论值为实数，计算误差会导致寄生复成分 (6)得到(5)结果中的实部;(7)用 $(-1)^{x+y}$ 乘以(6)中的结果 (8)提取(7)中的左上角(与输入图像同大小)。

低通频率域滤波器

理想低通滤波器 ILPF D_0 为截止频率; $D(u,v)=[(u-M/2)^2+(v-N/2)^2]$; $H(u,v)=\begin{cases}1,&D(u,v)\leq D_0;\\0,&D(u,v)>D_0;\end{cases}$

截止频率位置 D_0 决定了通过的频率成分所包含的功率,以及在总功率中所占的比例

总功率 $P_T=\sum_{u=0}^{P-1}\sum_{v=0}^{Q-1}P(u,v)=\sum_{u=0}^{P-1}\sum_{v=0}^{Q-1}|F(u,v)|^2$

在 $D(u,v)$ 内的功率占比 $\alpha=100\sum_u\sum_vP(u,v)/P_T$ where $D(u,v)\leq D_0$

理想的低通滤波器无法通过电子元件实现;通过计算机模拟会出现模糊与振铃现象

巴特沃斯 BLPF $H(u,v)=\frac{1}{1+[D(u,v)/D_0]^{2n}}$; 高斯 GLPF $H(u,v)=\text{e}^{-D^2(u,v)/2D_0^2}$ 无振铃效应

例子:低分辨率文本字符修复,面部柔和,去除传感器扫描线

高通滤波器

对低通滤波相反操作得到高通：

$H_{HP}(u,v)=1-H_{LP}(u,v)$; $h_{HP}=\delta(x,y)-h_{LP}(x,y)\neq 1-h_{LP}(x,y)$

理想 IHPF: $H(u,v)=\begin{cases}0,&D(u,v)\leq D_0\\1,&D(u,v)>D_0\end{cases}$

巴特沃斯: $H(u,v)=\frac{1}{1+[D(u,v)/D_0]^{2n}}$; 高斯: $H(u,v)=1-\text{e}^{-D^2(u,v)/2D_0^2}$

频域拉普拉斯算子： $H(u,v)=-4\pi^2(u^2+v^2)$ 中中心化版 $H(u,v)=-4\pi^2[(u-P/2)^2+(v-Q/2)^2]=-4\pi^2D^2(u,v)$

基于锐化滤波的图像增强 $g(x,y)=f(x,y)+c\nabla^2f(x,y)$;其中二阶梯度傅里叶变换为 **H*****F**

高提升滤波: $H_{hb}(u,v)=(A-1)+H_{hp}(u,v)$

高频加强滤波: $H_{hfe}(u,v)=a+bH_{hp}(u,v)$ a 控制原始贡献，b 控制高通贡献

同态滤波 $H(u,v)=(\gamma_H-\gamma_L)[1-\text{e}^{-c(D^2(u,v)/D_0^2)}]+\gamma_L$ 衰减图像的低频成分（光照分量），增强高频成分（反射分量）

其中 $\gamma_L<1$ 低频成分增益因且 $\gamma_H>1$ 高频成分增益因子;c用于控制滤波器函数斜面的锐化

带阻滤波器

理想带阻滤波器（IBRF）	高斯带阻滤波器（GBRF）	巴特沃斯带阻滤波器（BBRF）
$H(u,v)=\begin{cases}0,&C_0-\frac{W}{2}\leq D(u,v)\leq C_0+\frac{W}{2}\\1,&\text{其他}\end{cases}$	$H(u,v)=1-\text{e}^{-\frac{[D(u,v)-C_0]^2}{D_0^2}}$	$H(u,v)=\frac{1}{1+\frac{[D(u,v)-C_0]^{2n}}{D_0^{2n}}}$

去除摩尔纹;去除周期干扰

快速傅里叶变换

利用傅里叶变换基底性质，将M个数据的傅里叶变换转为2组 $\frac{M}{2}$ 个数据的傅里叶变换，此时计算量从 M^2 降低为 $\frac{M^2}{2}$

$F(u)=\sum_{x=0}^{K-1}f(2x)W_{2K}^{u(2x)}+\sum_{x=0}^{K-1}f(2x+1)W_{2K}^{u(2x+1)}$ 偶数部分+奇数部分

$W_M=\text{e}^{-\text{j}2\pi/M}$; $W_M^x=(W_M)^{ux}$; $W_{2K}^{2ux}=\text{e}^{-\text{j}2\pi ux/M}=W_K^{ux}$

$F_{\text{even}}(u)=\sum_{x=0}^{K-1}f(2x)W_K^{ux}$ $F_{\text{odd}}(u)=\sum_{x=0}^{K-1}f(2x+1)W_K^{ux}$

$F(u)=F_{\text{even}}(u)+F_{\text{odd}}(u)W_{2K}^u$

$F(u+K)=F_{\text{even}}(u)-F_{\text{odd}}(u)W_{2K}^u$

CHAPTER 5

图像退化/复原模型

建模图像退化为用 h 算子和 f 运算,加上加性噪声η,生成一幅退化图像 g

空域: $g(x,y)=(h\star f)(x,y)+\eta(x,y)$; 频域: $G(u,v)=H(u,v)F(u,v)+N(u,v)$

噪声模型

高斯 $p(z)=\frac{1}{\sqrt{2\pi}\sigma}\text{e}^{-(z-\bar{z})^2/2\sigma^2}$; 瑞利 $p(z)=\begin{cases}\frac{2}{\sigma^2}(z-\bar{a})\text{e}^{-(z-\bar{a})^2-\bar{b}},&z\geq\bar{a} \\ 0,&z<\bar{a}\end{cases}\parallel\bar{z}=a+\sqrt{\pi b/4},\sigma^2=\frac{b(4-\pi)}{4}$

爱尔兰（伽马） $p(z)=\begin{cases}\frac{b^a}{\Gamma(a)}z^{a-1}\text{e}^{-bz},&z\geq0 \\ 0,&z<0\end{cases}\parallel\bar{z}=\frac{b}{a},\sigma^2=\frac{b}{a^2}$ a>0,b 正整数

指数 $p(z)=\begin{cases}\text{e}^{-az},&z\geq0 \\ 0,&z<0\end{cases}\parallel\bar{z}=\frac{1}{a},\sigma^2=\frac{1}{a^2}$

均匀 $p(z)=\begin{cases}\frac{1}{b-a},&a\leq z\leq b \\ 0,&\text{otherwise}\end{cases}\parallel\bar{z}=\frac{a+b}{2},\sigma^2=\frac{(b-a)^2}{12}$; 椒盐 $p(z)=\begin{cases}\frac{P_s}{P_p},&z=2^k-1 \\ \frac{1-(P_p+P_s)}{P_p},&z=0\end{cases},z=V$

场景:高斯电子电路随机波动引起,或者传感器在低光照高温工作产生的噪声;瑞利模拟随机波动;伽马和指数模拟激光成像;均匀:随机数在指定范围内均匀分布;椒盐:成像设备中的瞬时故障或错误

噪声估计参数参数 $\bar{z}=\sum_{i=0}^{L-1}z_i;p_S(z_i)$ $\sigma^2=\sum_{i=0}^{L-1}(z_i-\bar{z})^2p_S(z_i)$

只存在噪声的复原——空间滤波

仅被加性噪声退化后: $g(x,y)=f(x,y)+\eta(x,y)$ $G(u,v)=F(u,v)+N(u,v)$ (噪声未知)

当仅有加性噪声时，可考虑空间滤波方法，利用图像相邻像素之间的的相似性，降低噪声的影响，甚至可以有效去除噪声。

均值滤波

S_{xy} 表示中心在(x,y)，尺寸为mxn的矩形子图像窗口

算术平均 $\hat{f}(x,y)=\frac{1}{mn}\sum_{(r,c)\in S_{xy}}g(r,c)$;平滑图像的局部变化;在模糊了结果的同时减少了噪声

几何平均滤波 $\hat{f}(x,y)=\left[\prod_{(r,c)\in S_{xy}}g(r,c)\right]^{\frac{1}{mn}}$ ；平滑度可以与算术均值相比;图像细节丢失更少

谐波平均滤波 $\hat{f}(x,y)=\frac{mn}{\sum_{(r,c)\in S_{xy}}\frac{1}{g(r,c)}}$ 适用“盐粒”和类似高斯噪声的噪声，不适用于“胡椒”；

反谐波平均 $\hat{f}(x,y)=\frac{\sum_{(r,c)\in S_{xy}}g(r,c)^{Q+1}}{\sum_{(r,c)\in S_{xy}}g(r,c)^Q}$ Q 称为滤波器的阶数,>0 用于胡椒,<0 用于盐粒,=0 变为算数平均,=-1 变为谐波平均

统计排序

中值 $\hat{f}(x,y)=median_{(r,c)\in S_{xy}}\{g(r,c)\}$ 与大小相同的线性平滑(均值)滤波相比，有效地降低某些随机噪声，且模糊度要小得多;对于单极和双极冲激噪声效果好

最大值 $\hat{f}(x,y)=\max_{(r,c)\in S_{xy}}\{g(r,c)\}$ 发现最亮点;过滤胡椒

最小值 $\hat{f}(x,y)=\min_{(r,c)\in S_{xy}}\{g(r,c)\}$ 发现最暗点;过滤盐粒

中点 $\hat{f}(x,y)=\frac{1}{2}[\max_{(r,c)\in S_{xy}}\{g(r,c)\}+\min_{(r,c)\in S_{xy}}\{g(r,c)\}]$ 统计排序滤波器和平均滤波器;适合处理随机分布的噪声，如高斯噪声和均匀噪声

修正后的阿尔法均值滤波 $\hat{f}(x,y)=\frac{1}{mn-d}\sum_{(r,c)\in S_{xy}}g_R(r,c)$

在 S 领域内去掉 g_R (c)最高灰度值的 $d/2$ 和最低灰度值的 $d/2$ $g_R(r,c)$ 代表剩余的 $mn-d$ 个像素.d=0 变为算数平均;d=mn-1 变为中值;当 d 取其它值时，适用于包括多种噪声的情况下，例如高斯噪声和椒盐噪声混合的情况。

自适应

用 S_{xy} 的区域内图像的统计特征进行处理

自适应局部降噪

$g(x,y)$ 表示噪声图像在点 (x,y) 上的值; σ_η^2 噪声方差 $\bar{z}_{S_{xy}}$ 在 S_{xy} 上像素点的局部平均灰度; $\sigma_{S_{xy}}^2$ 在 S_{xy} 上像素点的局部方差;假设 $\sigma_\eta^2\leq\sigma_{S_{xy}}^2$

$\hat{f}(x,y)=g(x,y)-\frac{\sigma_\eta^2}{\sigma_{S_{xy}}^2-\sigma_\eta^2}[g(x,y)-\bar{z}_{S_{xy}}]$

自适应中值

z_{min} 是 S_{xy} 中的最小灰度值; z_{max} 是 S_{xy} 中的最大灰度值; z_{med} 是 S_{xy} 中的灰度值的中值; $z_{\{xy\}}$ 是坐标 (x,y) 处的灰度值; S_{max} 是 S_{xy} 允许的最大尺寸。

层次 A: 若 $z_{min}<z_{med}<z_{max}$,则转到层次B 否则，增 S_{xy} 的尺寸，

若 $S_{xy}\leq S_{max}$,则重复层次A 否则，输出 z_{med}

层次 B: 若 $z_{min}<z_{xy}<z_{max}$,则输出 $z_{\{xy\}}$ 否则，输出 z_{med}

普通的中值消除噪声的同时导致图像细节明显缺失;自适应中值能够额外保留图像细节

频域滤波降低周期噪声

陷波滤波器:阻止或通过事先定义的频率矩形邻域中的频率 $H_{NR}(u,\nu)=\prod_{k=1}^QH_k(u,\nu)H_{-k}(u,\nu)$ $H_{k}(u,\nu)$ 和 $H_{-k}(u,\nu)$ 分别是中心为 (u k,v k) 和 (-u k,-v k) 的高通滤波器传递函数; $D_k(u,\nu)=\left[(u-M/2-u_k)^2+(v-N/2-v_k)^2\right]^{1/2}$; $D_{-k}(u,\nu)=\left[(u-M/2+u_k)^2+(v-N/2+v_k)^2\right]^{1/2}$ n阶巴特沃斯陷波带阻(3陷波对) $H_{NR}(u,\nu)=\prod_{k=1}^n\left[\frac{1+[D_{0k}/D_k(u,\nu)]^\pi}{1+[D_{0k}/D_{-k}(u,\nu)]^\pi}\right]$ 陷波带通滤波器(NR为带阻) $H_{NP}(u,\nu)=1-H_{NR}(u,\nu)$

存在多个干扰分量时，简单的滤波器传递函数在滤波过程中可能过多地滤除图像信息

最优陷波:1.分离干扰模式的各个主要贡献;2.从被污染图像中减去该模式的一个可变化加权部分

假设 G 是被污染图像 DFT 1.算出η, $N(u,\nu)=H_{NP}(u,\nu)G(u,\nu)$ $\eta(x,y)=F^{-1}\{H_{NP}(u,\nu)G(u,\nu)\}$

$\hat{f}(x,y)=g(x,y)-w(x,y)\eta(x,y)$

2.求可变化加权部分 $w(x,y)=\frac{\overline{\eta\eta}-\bar{\eta}^2}{\eta^2-\bar{\eta}^2}$

线性位置不变退化

如果退化模型为线性和位置不变的,则满足 Ch5 顶部建模的空域,频域表达式.许多退化类型可以近似表示为线性的位置不变过程；而非线性的与位置有关的技术难以求解。

估计退化函数

1.观察法:收集图像自身的信息来估计 H; 2.试验法:使用与获取退化图像的设备相似的装置; 3.数学建模法:建立退化模型，模型要把引起退化的环境因素考虑在内

逆滤波

$\hat{F}(u,v)=\frac{G(u,v)}{H(u,v)}=F(u,v)+\frac{N(u,v)}{H(u,v)}$;问题:N一般未知,挡 H 的任何元素为 0 或者较小时,后面分数项主导了结果.解决方法:限制滤波频率，从而减少遇到零值的可能性(H(0,0)的值最大).

最小均方误差（维纳）滤波

$S_{f(u,v)}=|F(u,v)|^2$ 为未退化函数功率； $S_\eta(u,v)=|N(u,v)|^2$ 为噪声功率谱；

$\hat{F}(u,v)=\left[\frac{1}{H(u,v)}\frac{H(u,v)^2+S_\eta(u,v)/S_f(u,v)}{S_f(u,v)}\right]G(u,v)$

假设两个功率谱之比为常数 K,有 $\hat{F}(u,v)=\left[\frac{1}{H(u,v)}\frac{|H(u,v)|^2}{|H(u,v)|^2+K}\right]G(u,v)$ K 通常在复原时调整

信噪比:频域 $SNR=\frac{\sum_{u=0}^{M-1}\sum_{v=0}^{N-1}|F(u,v)|^2}{\sum_{u=0}^{M-1}\sum_{v=0}^{N-1}|N(u,v)|^2}$ 空域 $SNR=\frac{\sum_{x=0}^{M-1}\sum_{y=0}^{N-1}f(x,y)^2}{\sum_{x=0}^{M-1}\sum_{y=0}^{N-1}[f(x,y)-\bar{f}(x,y)]^2}$ 均方误差 $MSE=\frac{1}{MN}\sum_{x=0}^{M-1}\sum_{y=0}^{N-1}[f(x,y)-\hat{f}(x,y)]^2$

约束最小二乘方滤波

约束 $|g-H\hat{f}|^2=|\eta|^2$ 准则函数最小化 $C=\sum_{x=0}^{M-1}\sum_{y=0}^{N-1}[\nabla^2f(x,y)]^2$

最佳问题的解 $\hat{F}(u,v)=\left[\frac{H^*(u,v)}{|H(u,v)|^2+\gamma}\frac{S_g(u,v)}{S_f(u,v)}\right]G(u,v)$ 当 $\gamma=0$ 时,退变成逆滤波

P (u, v) 为 p(x, y) 的傅里叶变换 p(x,y)为拉普拉斯空间卷积核

估计γ:设 $|\mathbf{r}|^2=|g-H\hat{f}|^2$,通过 $|\mathbf{r}|^2=|\eta|^2\pm a$,由于 r 关于 γ单调, $|\mathbf{r}|^2<|\eta|^2-a$ 增加γ; $|\mathbf{r}|^2>|\eta|^2+a$ 减少γ

估计 $|\eta|^2$: $|\eta|^2=MN[\sigma_\eta^2+\bar{\eta}^2]$ 用方差和均值

几何均值滤波

$\hat{F}(u,v)=\left[\frac{H^*(u,v)}{|H(u,v)|^2}\right]^a\left[\frac{H^*(u,v)}{|H(u,v)|^2+\beta\frac{S_\eta(u,v)}{S_f(u,v)}}\right]^{1-a}$

当 $\alpha=0$ 时,滤波器退化为逆滤波器;当 $\alpha=0$ 时,滤波器退化为参数维纳滤波器;当 $\alpha=0,\beta=1$ 时,滤波器退化为标准维纳滤波器;当 $\alpha=\frac{1}{2}$ 时,滤波器为几何均值滤波器;当 $\beta=1,\alpha$ 减到 $\frac{1}{2}$ 以上,它接近逆滤波器;当 $\beta=1,\alpha$ 减到 $\frac{1}{2}$ 以下,它接近维纳滤波器;当 $\beta=1,\alpha=\frac{1}{2}$ 时,它被称为谱均衡滤波器；

CHAPTER 6

彩色基础

红,绿,蓝量用 X,Y,Z 表示,叫三色值；三色系数定义: $x=\frac{X}{X+Y+Z}$; ...; $x+y+z=1$;

描述彩色光源的质量的三个基本量：辐射亮度：从光源流出的总能量，单位为瓦特(W)；发光强度：观察者从光源感知的总能量，单位为流明(红外的光强接近零)；亮度：主观描述子，不可测量，体现发光强度的消色概念。

区分不同颜色:色调:感知的主导色，跟主波长相关;饱和度:相对纯度，与一种色调混合的白光亮;亮度:发光强度的消色概念.色调和饱和度一起称为色度

彩色模型

RGB

针对彩色显色器和彩色摄像机开发,一个颜色有 8 比特,2^8=256 种颜色,全彩色则是 24 比特图像

CMYK

颜料颜色,针对彩色打印开发;CMY(青色、深红、黄色)是 RGB 的补色;K 是黑色,用于调节色彩

RGB->CMY: $\begin{pmatrix}C\\M\\Y\end{pmatrix}=\begin{pmatrix}1\\1\\1\end{pmatrix}-\begin{pmatrix}R\\G\\B\end{pmatrix}$

RGB->CMYK: $K=1-\max(R,G,B)$; $C=\frac{1-R-K}{1-K}$; $M=\frac{1-G-K}{1-K}$; $Y=\frac{1-B-K}{1-K}$

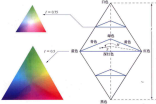
CMY->CMYK: $K=\min(C,M,Y)$ $K=1$ 则 CMY 都是 0;

$K\neq 1$ 则 $C=(C-K)/(1-K)$; $M=(M-K)/(1-K)$; $Y=(Y-K)/(1-K)$

CMYK->CMY: $C=C(1-K)+K$; $M=M(1-K)+K$; $Y=Y(1-Y)+K$

HSI

针对人们描述和解释颜色的方式开发，解除了亮度和色彩信息的联系; h 色调(角度),s 饱和度(鲜艳程度);i 强度(颜色的明暗程度,平均灰度)



RGB->HSI

$\theta=\arccos\left(\frac{(R-G)+(R-B)}{2\sqrt{(R-G)^2+(R-B)(G-B)}}\right)$ $H=\begin{cases}360-\theta & G<B \\ \theta & G\geq B\end{cases}$

$S=1-\frac{R+G+B}{R+G+B-\min(R,G,B)}$ $I=\frac{R+G+B}{3}$

HSI->RGB

1.RG 扇区 $0^\circ\leq H<120^\circ$

$R=I\cdot\left(1+\frac{S\cdot\cos(H)}{\cos(60^\circ-H)}\right)$; $G=1-(R+B)$; $B=I\cdot(1-S)$

2.GB 扇区 $(120^\circ\leq H<240^\circ$

高斯差分(DoG)来近似式的 LoG 函数 $D_G(x,y)=\frac{1}{2\pi\sigma_1^2}\mathrm{e}^{-\frac{x^2+y^2}{2\sigma_1^2}}-\frac{1}{2\pi\sigma_2^2}\mathrm{e}^{-\frac{x^2+y^2}{2\sigma_2^2}}$

连接边缘点

满足条件则连接 $|M(s,t)-M(x,y)|\leq E\ |\alpha(s,t)-\alpha(x,y)|\leq A$

霍夫变换 $\rho(\theta)=x\cos\theta+y\sin\theta=R\cos(\theta-\phi)=\sqrt{x^2+y^2}\cos(\theta-\arctan\frac{x}{y})$

阈值处理

多分类 $g(x,y)=\begin{cases} a, & f(x,y)>T_2 \\ b,T_1<f(x,y)\leq T_2 \\ c,f(x,y)\leq T_1 \end{cases}$

基本的全局阈值化

1. 为全局阈值*T*选择一个初始估计值。
2. 在 $g(x,y)=\begin{cases} 1,f(x,y)>T \\ 0,f(x,y)\leq T \end{cases}$ 中用*T*分割图像。这将产生两组像素：由灰度值大于*T*的所有像素组成的*G*₁,由所有小于等于*T*的像素组成的*G*₂
3. 对 *G*₁ 和 *G*₂ 中的像素分别计算平均灰度值(均值)*m*₁和 *m*₂
4. 在*m*₁和 *m*₂之间计算一个新的阈值： $T=\frac{m_1+m_2}{2}$
5. 重复步骤 2 到步骤 4,直到连续迭代中的两个*T*值间的差小于某个预定义的值Δ*T*为止。

OSTU 方法 *n_i* 表示灰度级 i 的像素数, $M*N=\sum_{i=0}^{L-1}n_i;p_i=\frac{n_i}{MN};\sum_{i=0}^{L-1}p_i=1,\quad p_i\geq 0$

分为两类 *c*₁,*c*₂ 累计概率 $P_1(k)=\sum_{i=0}^kp_i;P_2(k)=\sum_{i=k+1}^{L-1}p_i=1-P_1(k)$ 平均灰度 $m_1(k)=\frac{1}{P_1(k)}\sum_{i=0}^k ip_i;m_2(k)=\frac{1}{P_2(k)}\sum_{i=k+1}^{L-1} ip_i$ k 级累计灰度 $m(k)=\sum_{i=0}^k ip_i$ 整个图像平均灰度 $m_G=\sum_{i=0}^{L-1} ip_i$

约束条件 $P_1m_1+P_2m_2=m_G;P_1+P_2=1$

全局方差 $\sigma_G^2=\sum_{i=0}^{L-1}(i-m_G)^2p_i$ 类间方差 $\sigma_B^2=P_1(m_1-m_G)^2+P_2(m_2-m_G)^2=P_1P_2(m_1-m_2)^2=(\frac{m_GP_1-m_1}{P_1(1-P_1)})$ (选择 k 最大化 σ_B^2)

也可以多个阈值约束 $\sigma_B^2(k_1^*,k_2^*,\cdots,k_{K-1}^*)=\max_{0<k_1<k_2<\cdots k_K<L-1}\sigma_B^2(k_1,k_2,\cdots,k_{K-1})$

区域生长 分离 聚合

区域生长

1. **种子选择**: 选择一组“种子”点，这些种子点通常是具有某些特定属性的像素，如灰度或颜色范围。种子点的选择可以根据问题的性质或图像的特性来确定。
2. **相似性准则**: 定义一个相似性准则，用于判断邻域像素是否应被添加到当前区域。相似性准则可以基于灰度、颜色、纹理等属性。
3. **区域扩展**: 从种子点开始，将满足相似性准则的邻域像素逐步添加到当前区域中。这个过程会不断重复，直到没有更多的像素满足加入准则。
4. **连通性考虑**: 在区域生长过程中，必须考虑像素的连通性，以确保生成的区域是连通的。通常使用 8 连通或 4 连通来定义邻域。
5. **停止标志**: 定义一个停止规则，当没有更多的像素满足加入准则时，区域生长过程停止。
6. **区域标记**: 使用不同的标记（如整数或字母）来标识每个生成的区域，形成分割后的图像。

分离聚合

1. **初始分割**: 将图像初步划分为一组不相交的区域（如基于像素的颜色、灰度值等），形成初始区域。这些区域可以用细网格单元表示。
2. **分离规则**:
 - 根据定义的判别准则（如区域的均值、方差、纹理等特性），对某一特定区域 *R* 判断其是否满足某些属性。如果不满足，则将其细分为更小的不相交区域。
 - 例如，可以将 $Q(R)=FALSE$ 的任何区域划分为 4 个子区域。
3. **聚合规则**:
 - 如果满足某些逻辑条件（如两个相邻区域的属性接近，满足 $Q(R_i\cup R_j)=TRUE$ ），则将这些区域进行合并。
 - 通过不断聚合区域，减少过度分割的可能性。
4. **停止条件**:
 - 当区域无法进一步分割或聚合时，停止操作。
 - 最终的分割结果应满足所有区域均符合准则。
5. **应用示例**:
 - 结合区域的统计特性（如均值 *m_R* 和标准差 *σ_R*）和用户定义的阈值范围，可以定义规则 $Q(R)$ （例如： $\sigma_R>a,AND,m_R<b$ ）。

分水岭变换

1. 梯度图像：，算法使用图像的梯度图像 $g(x,y)$ ，其中包含多个区域极小值 $M_{\{1\}},M_{\{2\}},M_{\{g\}}$ 。这些极小值对应于图像中的局部低谷。
2. 汇水盆地：每个区域极小值 $M_{\{i\}}$ 都有一个与之相关联的汇水盆地 $C(M_i)$ ，这些汇水盆地中的点形成一个连通分量。
3. 淹没过程：算法通过模拟水位从最小值 min 逐渐上升到最大值 max 的过程来分割图像。在每个水位 *n*，集合 *T*[*n*] 包含所有灰度值小于 *n* 的点。
4. 二值图像：在每个水位 *n*, *T*[*n*] 可以被视为一幅二值图像，其中黑点表示位于平面 $g(x,y)=n$ 下方的点。
5. 汇水盆地分割：随着水位上升，算法通过比较当前水位 *n* 的连通分量与前一水位 *n* − 1 的汇水盆地，来确定是否需要构建水坝以防止不同汇水盆地的水流溢出。
6. 水坝构建：当水位上升到某个点时，如果发现有多个汇水盆地的水流可能溢出，算法会在这些汇水盆地之间构建水坝（即分割线），以阻止水流混合。

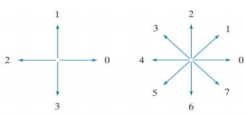
缺点:受噪声影响大;容易过度分割

CHAPTER 11

边界预处理

跟踪二值图像中 1 值区域 R 的边界算法:从左上角标记为 1 的点开始,按顺时针找 8 邻域中下一个 1,然后继续从下一个 1 开始执行算法,直到回到起点

弗里曼链码：基于线段的 4 连通或 8 连通，使用一种编号方案对每个线段的方向进行编码。用于表示由顺次连接的具有指定长度和方向的直线段组成的边界。



从起点开始,往哪个箭头方向走就标记哪个数字,直到回到起点;形状和链码是一一对应的;改变起点会让链码循环位移

归一化:循环位移后数字最小的链码

差分:相邻的做差,i 为当前 a[i+1]-a[i],最后加一个起点-终点;之后对 4 或者 8 取 mod; $D=[(C_2-C_1)\bmod m,(C_3-C_2)\bmod m,\dots,(C_l-C_n)\bmod m]$

形状数(差分+归一化)：将码按一个方向循环，使其构成的自然数最小序列;形状数的阶n 定义为形状数中的数字的数量。

斜率链码：在曲线周围放置**等长**的直线段得到，其中的直线段的端点与曲线相接,直线段的斜率记录链码

最小周长多边形:使用尽量少的线段来得到给定边界的基本形状;abc 三点行列式,逆时针为正,顺时针为负,共线为 0;先找所有凸起和凹陷点,然后凹顶点需要镜像;

标记图:把**质心到边界的距离**画成**角度的函数**。将原始的二维边界简化为一维函数表示。

边界特征描述子

边界 B 的直径 diameter(B)=max_{i,j}[D(pi,pj)] 式中 D 为距离测度，pi 和 pj 是边界上的点。

长度length_m = $\left[(x_2-x_1)^2+(y_2-y_1)^2 \right]^{1/2}$ 方向angle_m = $\arctan\left[\frac{y_2-y_1}{x_2-x_1}\right]$

曲线的曲折度定义为斜率链码链元素的绝对值之和: $\tau=\sum_{i=1}^n|\alpha_i|$,式中的 n 是斜率链码中的元素数量, |α_i|是链码中元素的值(斜率变化)。

傅里叶描述子:二维边界可以被视为复数从而一维化表示为 s(k)=x(k)+jy(k)

边界的傅里叶描述子 $a(u)=\sum_{k=0}^{K-1}s(k)e^{-j2\pi uk/K}$

$s(k)=\frac{1}{K}\sum_{u=0}^{K-1}a(u)e^{j2\pi uk/K}$;只采用前 P 个系数 $\hat{s}(k)=\frac{1}{K}\sum_{u=0}^{P-1}a(u)e^{j2\pi uk/K}$

统计矩: 1.把 g(r)的幅度视为离散随机变量 z，形成幅度直方图 p(zi),A 是灰度值最大的区间数量。将 p 归一化，使其元素之和等于 1，那么 p(zi)是灰度值 zi 的概率估计；z 关于其平均值的 n 阶矩为 $\mu_n(z)=\sum_{i=0}^{A-1}(z_i-m)^np(z_i)$ m 是 z 的均值， μ_2 是 z 的方差，只需要前几个矩来区分明显不同形状的标记图。

2.将 g(r)面积归一化为 1，并视为直方图，g(n)可被视为值 ri 出现的概率。r 是随机变量 K 是边界上的点数， $\mu_{n(r)}$ 与标记图 g(r)形状直接相关 矩是 $\mu_n(r)=\sum_{i=0}^{K-1}(r_i-m)^ng(r_i)$ 其中 $m=\sum_{i=0}^{K-1}r_ig(r_i)$

区域特征描述子

面积 A 为区域中的像素数量。周长 p 是其边界的长度;紧致度（无量纲） E_A^2 ;圆度（无量纲） $\frac{4\pi A}{p^2}$;有效直径 $d_e=2\sqrt{\frac{A}{\pi}}$

偏心率 标准椭圆 eccentricity = $\frac{c}{a}=\frac{\sqrt{a^2-b^2}}{a}=\sqrt{1-(b/a)^2}$ $a\geq b$
任意方向椭圆(协方差矩阵的特征值) eccentricity = $\sqrt{1-(\lambda_2/\lambda_1)^2}$ $\lambda_1\geq \lambda_2$

拓扑描述子:孔洞的数量 H 和连通分量 C 的数量,定义欧拉数 E = C - H
顶点数表示为 V，将边数表示为 Q，将面数表示为 F 时， V-Q+F=E

纹理:统计方法(和统计矩 1 类似),光滑度 $R=1-\frac{1}{1+\sigma^2(\lambda)}$ σ^2 是方差 μ_2 ;一致性 $U=\sum_{i=0}^{L-1}p^2(z_i)$ 熵 $p=-\sum_{i=0}^{L-1}p(z_i)\log_2p(z_i)$

共生矩阵中的元素 g_{ij} 值定义为图像 f 中灰度 (z_i,z_j) 的像素对出现的次数;像素对不一定是左右的,可以跨格子;从 z_i 到 z_j

共生矩阵 (KxK) 的描述子, $p_{i,j}$ 等于 G 中第 i,j 项处于 G 的元素之和

描 述 子	解 释	公 式
最大概率	度量 <i>G</i> 的最强响应，值域是[0, 1]	$\max_{i,j} P_{ij}$
相关	一个像素在整个图像上与其相邻像素有多相关的测度，值域是 [1, -1], 1 对应于完全正相关，-1 对应于完全负相关。标准差为零时，这个测度无定义	$\frac{\sum_{i,j} \sum_{i',j'} (i-m_i)(j-m_j)P_{ij}}{\sum_{i,j} \sum_{i',j'} \sigma_i \sigma_j}, \quad \sigma_i \neq 0, \sigma_j \neq 0$
对比度	一个像素在整个图像上与其相邻像素之间的灰度对比度的测度，值域是从 0 到 (<i>G</i> 为常数时) 到(<i>K</i> − 1) ²	$\frac{\sum_{i,j} \sum_{i',j'} (i-j)^2 P_{ij}}{\sum_{i,j} \sum_{i',j'} P_{ij}}$
均匀性（也称能量）	均匀性的一个测度，值域为[0, 1]。恒定图像的均匀性为 1	$\frac{\sum_{i,j} \sum_{i',j'} P_{ij}^2}{\sum_{i,j} \sum_{i',j'} P_{ij}}$
同质性	<i>G</i> 中对角分布的元素的空间接近度的测度，值域是[0, 1]， <i>G</i> 是对角阵时同质性为最大值，即 1	$\frac{\sum_{i,j} \sum_{i',j'} P_{ij}}{\sum_{i,j} \sum_{i',j'} 1+ i'-j }$
熵	<i>G</i> 中元素的随机性的测度。当所有 <i>P_{ij}</i> 均为 0 时，熵是 0；当 <i>P_{ij}</i> 均分布时，熵取最大值，因此最大值为 2log ₂ <i>K</i>	$-\sum_{i,j} \sum_{i',j'} P_{ij} \log_2 P_{ij}$

极坐标下的频谱函数 $S(r)=\sum_{\theta=0}^{\pi}S_{\theta}(r)\quad S(\theta)=\sum_{r=1}^{R_0}S_r(\theta)$

矩不变量:大小为 MxN 的数字图像 f(x,y)的二维(p+q)阶矩为 $m_{pq}=\sum_{x=0}^{M-1}\sum_{y=0}^{N-1}x^p y^q f(x,y)$ ；
(p+q)阶中心矩为 $\mu_{pq}=\sum_{x=0}^{M-1}\sum_{y=0}^{N-1}(x-\bar{x})^p(y-\bar{y})^q f(x,y)\quad \bar{x}=\frac{m_{10}}{m_{00}},\quad \bar{y}=\frac{m_{01}}{m_{00}}$

归一化(p+q)阶中心矩为 $\eta_{pq}=\frac{\mu_{pq}}{\mu_{00}^{(p+q)/2+1}}$

主成分描述子

x 是 n 维列向量,总体平均向量 $m_x=E(x)$,向量总体的协方差矩阵(nxn) $C_x=E\left\{(x-m_x)(x-m_x)^T\right\}$

霍特林变换:令 A 是一个矩阵，这个矩阵的各行由 Cx 的特征向量构成; $y=A(x-m_x)$